

Marian Paluch\*, Ryszard Wosz\*

## ANALIZA DYNAMICZNEGO ZACHOWANIA SIĘ BELKI STROPU BEZPOŚREDNIEGO BĘDĄCEGO W JEDNOPARAMETROWYM KONTAKCIE ZE ZŁOŻEM W FORMIE POKŁADU EKSPLOATOWANEGO NA ZAWAŁ\*\*

---

### 1. Wstęp

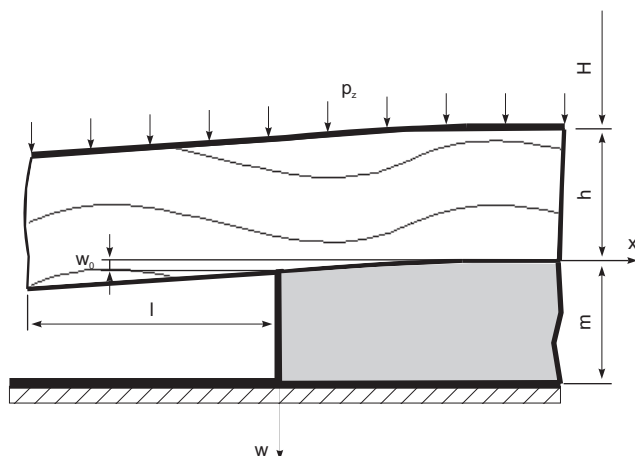
W artykule opisano zachowanie się warstw górotworu nad eksploatowanym systemem ścianowym z zawałem stropu złożem. Strop bezpośredni stanowi warstwa górotworu o własnościach ośrodka kruchego, czyli ulegającego zniszczeniu w sposób gwałtowny z wydzieleniem znacznej ilości energii sprężystej. Zjawisko to prowadzi do emisji drgań i wstrząsów stanowiących zagrożenie dla załóg kopalń. W rozwiniętym etapie eksploatacji pokładu strop jest ukształtowany w formie belki wspornikowej, na jednym końcu utwierdzonej, a na drugim swobodnej. Od góry belka jest obciążona nadkładem w postaci pionowej składowej  $p_z$  tensora naprężenia pierwotnego. Cały górotwór, strop oraz złożo, charakteryzuje się własnościami ośrodka sprężystego, które to własności opisują następujące parametry: współczynnik oporu właściwego złoża  $c$ , współczynnik odkształcalności podłużnej  $E$  warstwy stropowej, współczynnik Poissona  $\nu$ . Zadanie sprowadza się do rozwiązania modelu opisującego ugięcie belki na sprężystym podłożu. W równaniu konstytutywnym modelu o wartości krzywizny osi belki decyduje moment zginający i siła ściskająca [3].

W artykule przedstawiono wyniki analizy zachowania się modelu opisującego eksploatację złoża typu pokładowego systemem ścianowym z zawałem stropu (rys. 1), w którym to modelu oprócz składnika statycznego, tzn. obciążenia belki i wielkości opisujących jej parametry geometryczne i odkształceniowe, uwzględniono składnik dynamiczny opisujący zmiany funkcji przemieszczeń w czasie.

---

\* AGH Akademia Górniczo-Hutnicza, Wydział Górnictwa i Geoinżynierii

\*\* Artykuł stanowi wynik zrealizowanego w ramach badań statutowych projektu. Nr umowy w AGH 11.11.100.277, tytuł pracy: Badanie zjawisk fizykomechanicznych wywołanych działalnością górnictwem



**Rys. 1.** Hipotetyczny model zachowania się warstw stropowych przy eksploatacji złoża systemem ścianowym na zawal

## 2. Założenia i cel pracy

Celem pracy było zbudowanie modelu analitycznego pozwalającego ocenić stan naprężenia wokoło wyrobiska ścianowego w pokładowym złożu, np. węgla kamiennego lub innego surowca. Podstawową informacją do sporządzenia projektu eksploatacji jest informacja o sposobie zachowania się górotworu w stropie wyrobiska w trakcie prowadzonej eksploatacji. Chodzi o to, aby było wiadomo, jakich przemieszczeń stropu można się spodziewać oraz jakiej skali zjawiska dynamiczne mogą zachodzić w trakcie eksploatacji (wstrząsy i drgania propagujące w górotworze, tąpnięcia). Górotworowi przypisano własności ośrodka sprężystego, izotropowego i jednorodnego reprezentowane przez parametry odkształceniowe i wytrzymałościowe:  $E$  – współczynnik odkształcalności podłużnej,  $\nu$  – współczynnik odkształcalności poprzecznej (Poissona),  $R_c$  – granica wytrzymałości na ściskanie,  $c$  – współczynnik oporu właściwego pokładu.

## 3. Konstrukcja modelu

Model przedstawiono na rysunku 1, na którym pokazano poprzeczny przekrój przez czoło frontu eksploatacyjnego ścianowego w pokładzie o miąższości  $m$ . W stropie znajduje się wspornik o długości  $l$  wywierający dodatkowe, poza pierwotnym, obciążenie pokładu w strefie czoła frontu. Grubość warstwy stropowej tworzącej wspornik wynosi  $h$ , a głębokość eksploatacji  $H$ .

W celu pełnego zobrazowania procesu uginania się warstwy stropowej w rozwiązaniu przedstawiono również równanie osi wspornika i jej przemieszczenie. Do rozwiązania wykorzystano równanie linii ugięcia osi belki na sprężystym podłożu, w którym uwzględnia się wpływ na krzywiznę osi belki zarówno momentu zginającego, jak i siły ścinającej. Model jest w płaskim stanie odkształcenia.

## 4. Równanie linii ugięcia osi belki stropowej w części nad złożem

Równanie ruchu ma postać

$$\frac{\partial^2 w(x,t)}{\partial t^2} + \frac{EI}{\rho F} \frac{\partial^4 w(x,t)}{\partial x^4} - \frac{2I(1+\nu) \cdot k \cdot b \cdot c}{\rho F^2} \frac{\partial^2 w(x,t)}{\partial x^2} + \frac{b \cdot c}{\rho F} w(x,t) = \frac{b \cdot p_z(x,t)}{\rho F} \quad (1)$$

gdzie:

- $w(x,t)$  — funkcja ugięcia osi belki stropowej,
- $l$  — długość wspornika,
- $EI$  — sztywność zginania,
- $I$  — moment bezwładności przekroju na zginanie,
- $F$  — pole przekroju poprzecznego jednostkowego odcinka belki,  $F = bh$ ,
- $\rho$  — gęstość masy górotworu,
- $H$  — głębokość eksploatacji,
- $\nu$  — współczynnik odkształcalności poprzecznej (współczynnik Poissona),
- $p_z(x,t)$  — obciążenie dynamiczne belki,
- $p_{z0}$  — składowa pionowa tensora ciśnienia pierwotnego,  
 $p_{z0} = p_z(x, 0)$ ,
- $k$  — współczynnik kształtu przekroju prostokątnego,  $k = 1,2$  [2],
- $c$  — współczynnik oporu właściwego pokładu,
- $b$  — szerokość modelu ( $b = 1$  m),
- $t$  — czas.

Równanie (1) jest równaniem różniczkowym czwartego stopnia, które rozwiązano metodą Fouriera, polegającą na rozdzieleniu funkcji zmiennych geometrycznych i czasu.

Rozwiązania równania (1) poszukujemy w formie

$$w(x,t) = y(x) \cdot T(t) \quad (2)$$

Po zróżniczkowaniu funkcji (2) i podstawieniu do równania (1) otrzymujemy

$$y(x) \cdot \ddot{T}(t) + T(t) \left[ \frac{E \cdot I}{\rho \cdot F} y^{IV}(x) - \frac{2kbc \cdot I \cdot (1+\nu)}{\rho \cdot F^2} y^{II}(x) + \frac{bc}{\rho \cdot F} y(x) \right] = 0 \quad (3)$$

Równanie (3) po przekształceniach ma postać

$$\frac{-\ddot{T}(t)}{T(t)} = \frac{1}{y(x)} \cdot \left[ \frac{E \cdot I}{\rho \cdot F} y^{IV}(x) - \frac{2kbc \cdot I \cdot (1+\nu)}{\rho \cdot F^2} y^{II}(x) + \frac{bc}{\rho \cdot F} y(x) \right] = \omega^2 \quad (4)$$

gdzie  $\omega$  – jest stałą.

Po separacji funkcji czasu i przemieszczenia układ równań przedstawia się następująco

$$\ddot{T}(t) + \omega^2 T(t) = 0 \quad (5)$$

$$\frac{E \cdot I}{\rho \cdot F} y^{IV}(x) - \frac{2kbc \cdot I \cdot (1+\nu)}{\rho \cdot F^2} y''(x) + \left( \frac{bc}{\rho \cdot F} - \omega^2 \right) y(x) = 0 \quad (6)$$

Rozwiązaniem równania (5) jest funkcja

$$T(t) = A_1 \cos(\omega \cdot t) + A_2 \sin(\omega \cdot t) \quad (7)$$

gdzie:

$A_1$  i  $A_2$  — stałe całkowania,  
 $t$  — czas.

Korzystając nadal z tej samej techniki rozwiązywania, wyznaczono równanie charakterystyczne dla (6)

$$r^4 - 2 \cdot \alpha^2 \cdot r^2 + \beta^4 = 0 \quad (8)$$

gdzie:

$$\alpha^2 = \frac{kbc \cdot (1+\nu)}{E \cdot F} \quad \beta^4 = \frac{bc - \rho F \cdot \omega^2}{E \cdot I} \quad (9)$$

Równanie (8) jest równaniem dwukwadratowym. Po wprowadzeniu nowej zmiennej i podstawieniu

$$u = r^2$$

równanie sprowadza się do postaci równania kwadratowego

$$u^2 - 2 \cdot \alpha^2 \cdot u + \beta^4 = 0 \quad (10)$$

dla którego wyróżnik równania

$$\Delta = 4(\alpha^4 - \beta^4)$$

Wyróżnik  $\Delta$  może przyjmować wartość dodatnią, równą zero lub ujemną, co rzutuje na charakter pierwiastków równania. Do rozwiązania modelu przyjęto wariant z ujemną wartością  $\Delta$ .

W takim przypadku rozwiązaniem są dwie pary sprzężonych pierwiastków zespolonych

$$\begin{aligned} r_{1,2} &= \pm \frac{\beta}{\sqrt{2}} \left( \sqrt{1+\psi} - i\sqrt{1-\psi} \right) = \pm \lambda \mp i \cdot \gamma \\ r_{3,4} &= \pm \frac{\beta}{\sqrt{2}} \left( \sqrt{1+\psi} + i\sqrt{1-\psi} \right) = \pm \lambda \pm i \cdot \gamma \end{aligned} \quad (11)$$

gdzie:

$$\begin{aligned} \psi &= \frac{\alpha^2}{\beta^2} = \frac{kbc \cdot (1+\nu) \cdot I}{F \sqrt{EI} (bc - \omega^2 \rho F)} \\ \lambda &= \frac{\beta}{\sqrt{2}} \sqrt{1+\psi} \quad \left[ \frac{1}{m} \right] \quad \gamma = \frac{\beta}{\sqrt{2}} \sqrt{1-\psi} \quad \left[ \frac{1}{m} \right] \end{aligned}$$

Uwzględniając powyższe, funkcja linii ugięcia stropu zależna tylko od współrzędnej położenia ma postać

$$y(x) = e^{-\lambda \cdot x} \cdot (D_1 \cdot \cos(\gamma x) + D_2 \cdot \sin(\gamma x)) \quad (12)$$

gdzie:  $D_1$  i  $D_2$  – stałe całkowania wyznaczane z warunków brzegowych.

Warunki brzegowe przyjęto w początku układu współrzędnych, czyli nad frontem ścianowym

- 1) dla  $x = 0$  wielkość momentu zginającego wynosi  $M_g(0) = \frac{p_z \cdot b \cdot l^2}{2}$
- 2) dla  $x = 0$  wielkość siły ścinającej wynosi  $T(0) = p_z \cdot b \cdot l$

Po podstawieniu do równań drugiej i trzeciej pochodnej funkcji obniżenia, opisujących moment zginający i siłę ścinającą, warunków brzegowych wyznaczono stałe  $D_1$  i  $D_2$

$$D_2 = D_1 \frac{\lambda^2 - \gamma^2 + \frac{l}{2} \lambda^3 - \frac{3}{2} \lambda \gamma^2 l}{2\lambda \gamma - \frac{l}{2} \gamma^3 + \frac{3}{2} l \lambda^2 \gamma} \quad (13)$$

Po pomnożeniu przez  $A_2$

$$A_2 D_2 = A_2 D_1 \frac{\lambda^2 - \gamma^2 + \frac{l}{2} \lambda^3 - \frac{3}{2} \lambda \gamma^2 l}{2\lambda \gamma - \frac{l}{2} \gamma^3 + \frac{3}{2} l \lambda^2 \gamma} \quad (14)$$

Dalsze podstawienia redukują liczbę stałych

$$\begin{aligned} A_2 D_1 &= C_1 \\ A_2 D_2 &= C_2 \end{aligned} \quad (15)$$

$$w(x, t) = [C_1 \sin(\omega t) \cos(\gamma x) + C_2 \sin(\omega t) \sin(\gamma x)] \cdot e^{-\lambda x} \quad (16)$$

Porównując odpowiednie wielkości z równań drugiej i trzeciej pochodnej funkcji ugięcia, wyznaczono stałe

$$A_1 = 0 \quad C_1 = f(\lambda, \gamma, l) \quad C_2 = f(\lambda, \gamma, l) \quad (17)$$

Stałe całkowania  $A_1$  i  $A_2$  dla funkcji (7) wyznaczono z warunków początkowych. Z praktyki wiadomo, że dynamiczny proces wyzwalania energii sprężystej jest zjawiskiem o bardzo krótkim czasie przebiegu. Szacuje się [1], że czas trwania procesu wynosi od 0,3 s do 0,48 s. Drugi z dynamicznych parametrów – prędkość wyrzutu oderwanej masy skalnej – zmienia się w większym przedziale czasu. Na podstawie badań parametrów dynamicznych w czasie strzelania materiałem wybuchowym w kopalniach stwierdzono, że prędkość ta może wynosić od kilku dziesiątych m/s do kilku m/s (w konkretnych badaniach [1]  $v = 0,33$  m/s i  $v = 2,9$  m/s). Poza tym istotną rolę w procesie wyrzutu skały odgrywa prędkość inicjacji zjawiska, czyli prędkość początkowa. Przedział wartości to kilka setnych m/s (w konkretnym przykładzie [1] to  $v_0 = 0,0108$  m/s). Na podstawie powyższego przyjęto następujące warunki początkowe:

- 1) dla czasu  $t_0 = 0$  prędkość początkowa wyrzutu skały wynosi  $v_0$ ,
- 2) dla czasu  $t_1$  prędkość wynosi  $v_1$ .

Podstawiając do równań otrzymamy:

$$v(t_0) = v_0$$

$$v(t_1) = \frac{dT(t)}{dt} = -A_1 \cdot \omega \cdot \sin(\omega \cdot t_1) + A_2 \cdot \omega \cdot \cos(\omega \cdot t_1)$$

$$v(t_1) = v_1$$

$$v_0 = 0,0108 \text{ m/s}$$

$$v_1 = 0,33 \text{ m/s} - 2,9 \text{ m/s}$$

W celu uzyskania możliwości przeprowadzenia analizy ugięcia belki stropowej na całej długości do rozwiązania dołączono równanie linii osi wspornika [4]

$$y^{ws}(x) = \frac{P_z}{E \cdot I} \cdot \left( \frac{x^4}{24} + K_1 \frac{x^3}{6} + K_2 \frac{x^2}{2} + K_3 x + K_4 \right)$$

gdzie:  $K_1, K_2, K_3, K_4$  – stałe całkowania.

Na podstawie rozwiązania [18] wyznaczono następujące wielkości stałych

$$K_1 = \frac{L_1 \cdot \lambda(3\gamma^2 - \lambda^2) + L_2 \cdot \gamma(3\lambda^2 - \gamma^2)}{p_z \cdot b} EI$$

$$K_2 = \frac{EI}{p_z \cdot b} [L_1 (\lambda^2 - \gamma^2) - 2\lambda \cdot \gamma \cdot L_2]$$

$$K_3 = \frac{EI}{p_z \cdot b} (L_2 \cdot \gamma - L_1 \cdot \lambda)$$

$$K_4 = \frac{EI}{p_z \cdot b} L_1$$

Na rysunku 2 pokazano odcinek połączonych linii osi belki nad złożem i osi wspornika.

## 5. Równanie linii ugięcia osi belki stropowej

Po wyznaczeniu funkcji cząstkowych  $y = f(x)$  i  $T = f(t)$ , skonstruowano funkcję ugięcia całkowitego osi belki stropowej w części nad złożem dla  $x \geq 0$

$$w(x, t) = y(x) \cdot T(t) \tag{18}$$

$$w(x, t) = e^{-\lambda \cdot x} [D_1 \cdot \cos(\gamma \cdot x) + D_2 \cdot \sin(\gamma \cdot x)] \cdot [A_1 \cdot \cos(\omega \cdot t) + A_2 \cdot \sin(\omega \cdot t)]$$

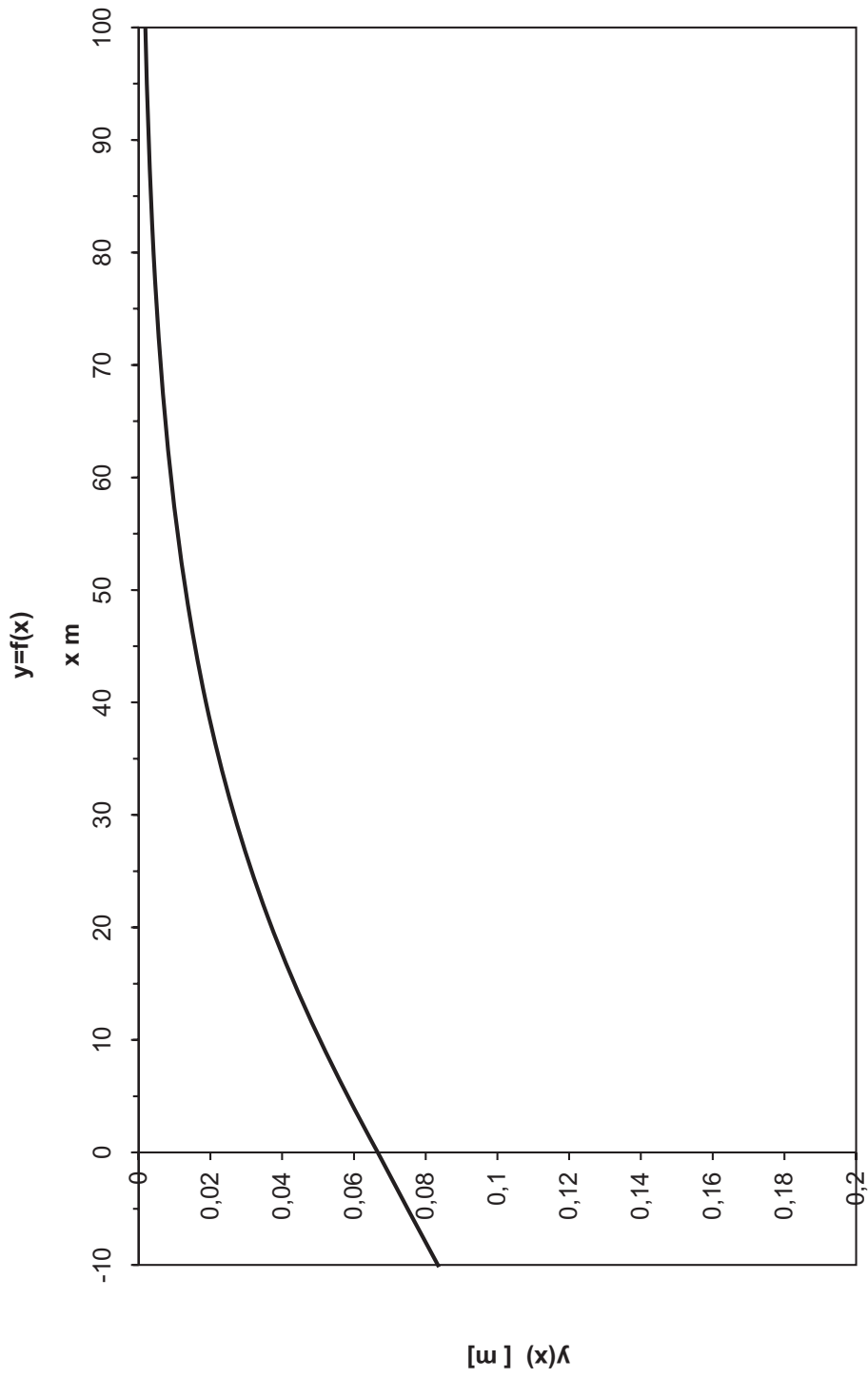
## 6. Dane obliczeniowe

Przyjęto następujące wartości parametrów obliczeniowych:

— głębokość eksploatacji	$H = 1000$ m,
— średni ciężar objętościowy nadkładu	$\gamma = 0,025$ MN/m <sup>3</sup> ,
— miąższość złoża	$m = 2,5$ m,
— gęstość masy górotworu	$\rho = 2500$ kg/m <sup>3</sup> ,
— grubość warstwy stropu bezpośredniego	$h = 12$ m,
— współczynnik odkształcalności podłużnej stropu	$E = 20$ GPa,
— moment bezwładności przekroju belki na zginanie	$I = bh^3/12$ ,
— grubość tarczy modelowej	$b = 1$ m,
— współczynnik kształtu przekroju prostokątnego	$k = 1,2$ ,
— długość wspornika	$l = 10$ m.

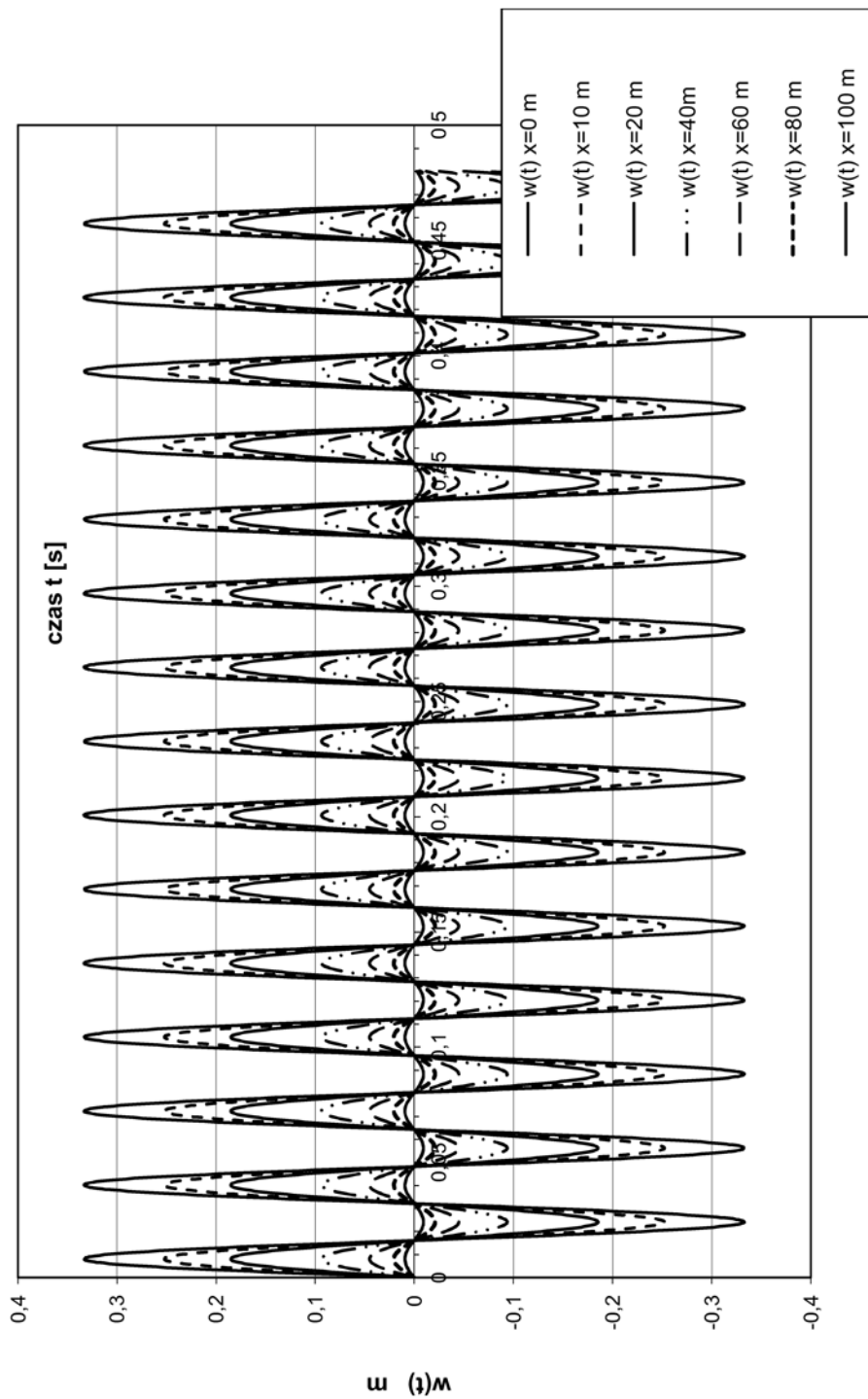
## 7. Obliczenia

Aby był spełniony przyjęty wcześniej warunek ujemnej wartości wyróżnika, parametr nie może przekroczyć wartości  $\omega = 195,78$  s<sup>-1</sup>. Przyjęto przedział wartości parametru od zera do wartości maksymalnej z podziałem na 500 punktów. Współrzędna  $x$  zawierała się w granicach od 0 do 100 m. Na rysunku 3 pokazano rozkłady funkcji obniżenia w zależności od czasu przy wartości współrzędnej od  $x = 0$  do  $x = 100$  m. Rysunek 4 przedstawia rozkłady funkcji obniżenia w zależności od współrzędnej  $x$ , przy założonych przedziałach czasu w granicach od  $t = 0$  s do  $t = 0,48$  s.

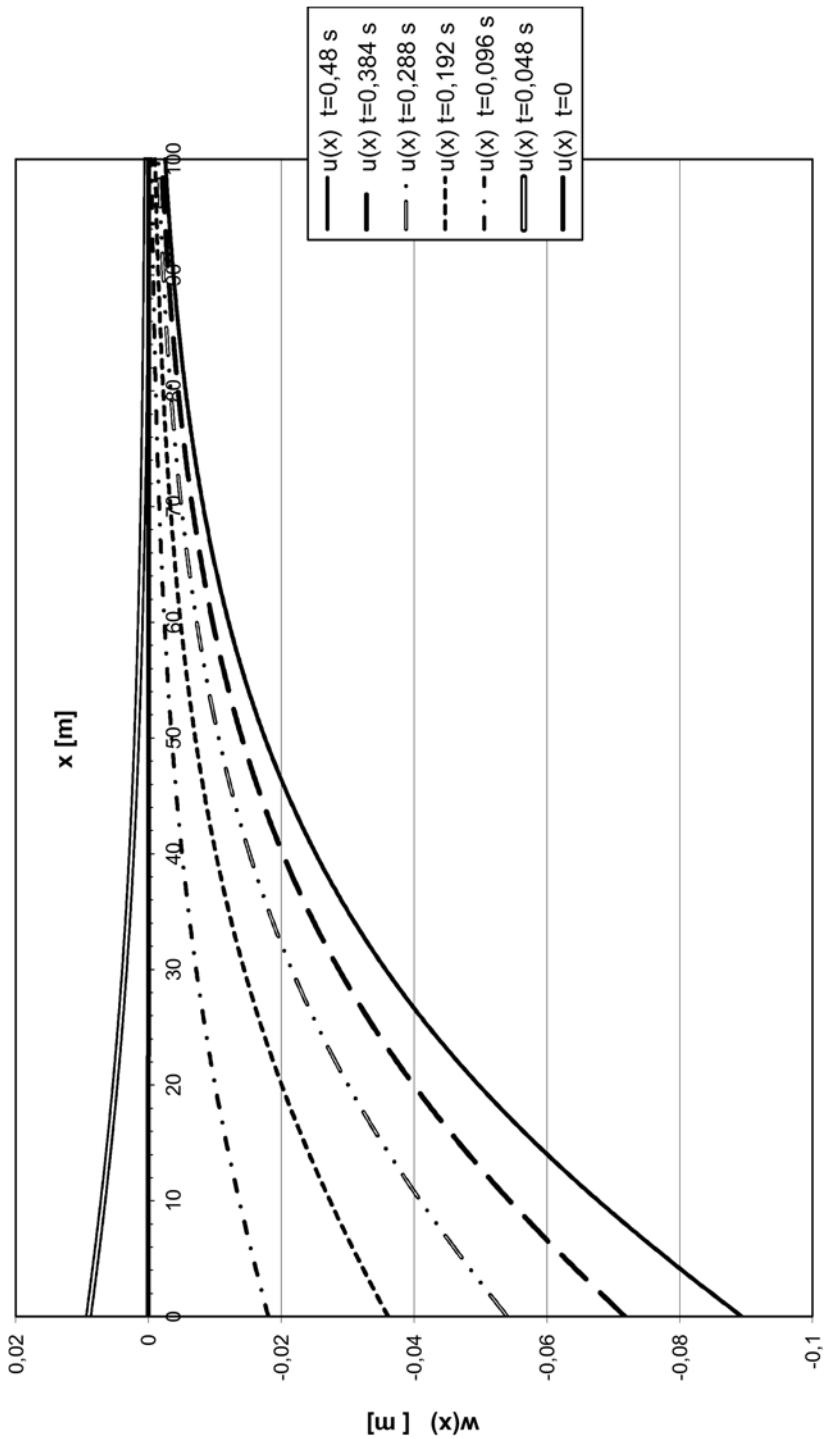


**Rys. 2.** Oś odkształconej belki stropowej w części nad złożem i zrobami





Rys. 3. Rozkład funkcji ugięcia osi belki stropu bezpośredniego w czasie



Rys. 4. Rozkład funkcji ugięcia osi belki stropu bezpośredniego z odległością

## 8. Podsumowanie i analiza wyników

W artykule przedstawiono model opisujący sytuację technologiczną eksploatacji złoża typu pokładowego systemem ścianowym na zawał.

Model zawiera w sobie składnik pozwalający symulować zachowanie dynamiczne związane z ruchem drgającym konstrukcji belki.

Na tym etapie obliczeń można sformułować wstępne wnioski dotyczące zachowania się modelu. Na rysunku 2 przedstawiono zmiany wartości amplitudy drgań modelu w miarę wzrostu odległości od czoła ściany. Maksimum o wartości 0,3332 m funkcja obniżenia osiąga w punkcie o współrzędnej  $x = 0$  po czasie  $t = 0,008 + i \cdot 0,032$  [s], gdzie  $i = 0 \div 15$ . Na rysunku 3 przedstawiono rozkład funkcji ugięcia osi belki stropu bezpośredniego z odległością. Maksymalne ugięcie wynosi około 9 cm i maleje z odległością według krzywej wykładniczej. W odległości około 30 m od czoła ściany obniżenia osiągają poziom 50% wartości maksymalnej. Można zauważyć regularny przyrost obniżeń belki w miarę upływu czasu. Dla czasów:  $t_1 = 0,192$  s,  $t_2 = 0,288$  s,  $t_3 = 0,384$  s i  $t_4 = 0,48$  s przyrost wynosi około 18 mm.

W dalszym ciągu realizacji projektu autorzy mają zamiar kontynuować prace, wykorzystując dostępne wyniki laboratoryjnych badań własności ośrodka skalnego.

### LITERATURA

- [1] *Kidybiński A.*: Dynamiczne obciążenie obudowy chodnikowej w czasie tąpnięć. *Górnictwo* 1986 (kwartalnik), z. 2
- [2] *Kłeczek Z.*: Geomechanika górnicza. Śląskie Wydawnictwo Techniczne, Katowice, 1994
- [3] *Ozog T.*: Ugięcie stropu przy uwzględnieniu sił ścinających, AGH 1964 (praca doktorska)
- [4] *Wosz R.*: Ugięcie stropu bezpośredniego i zasadniczego przy eksploatacji złoża systemem komorowo-filarowym z ugięciem stropu – równanie linii ugięcia wspornika stropu zasadniczego, *Górnictwo i Geoinżynieria* (kwartalnik AGH) 2003, z. 2